



TEORÍA DE CONTROL

Análisis de sistemas mediante modelos

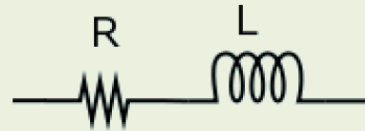
Grado de Robótica
Curso 2022-2023

Análisis de sistemas mediante modelos

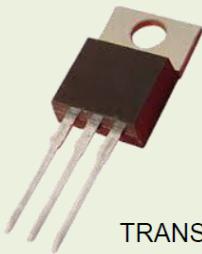
SISTEMAS FÍSICOS Y MODELOS



RESISTOR



MODELO ELÉCTRICO



TRANSISTOR



MODELO DE PEQUEÑA SEÑAL

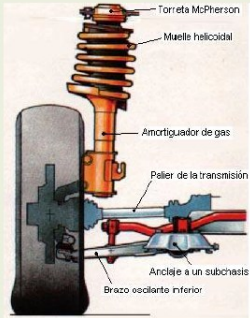
MODELO DE GRAN SEÑAL

MODELO DE BAJA FRECUENCIA

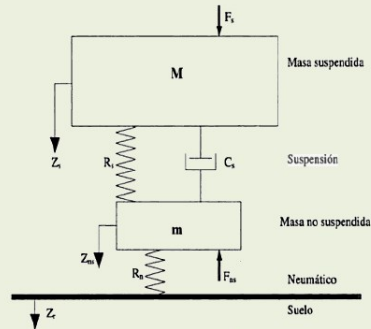
MODELO DE ALTA FRECUENCIA

Análisis de sistemas mediante modelos

SISTEMAS FÍSICOS Y MODELOS



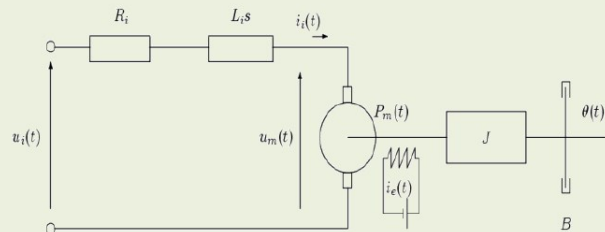
SISTEMA DE SUSPENSIÓN



MODELO MECÁNICO



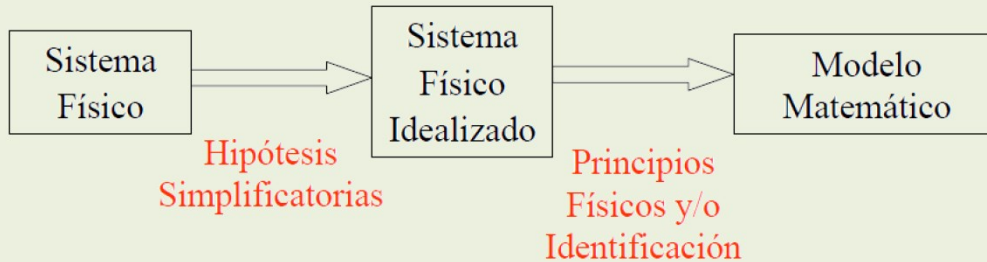
MOTOR DE C. CONTINUA



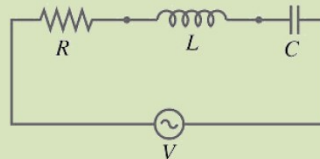
MODELO ELECTRO-MECÁNICO

Análisis de sistemas mediante modelos

MODELOS MATEMÁTICOS



SISTEMA FÍSICO



MODELO ELÉCTRICO

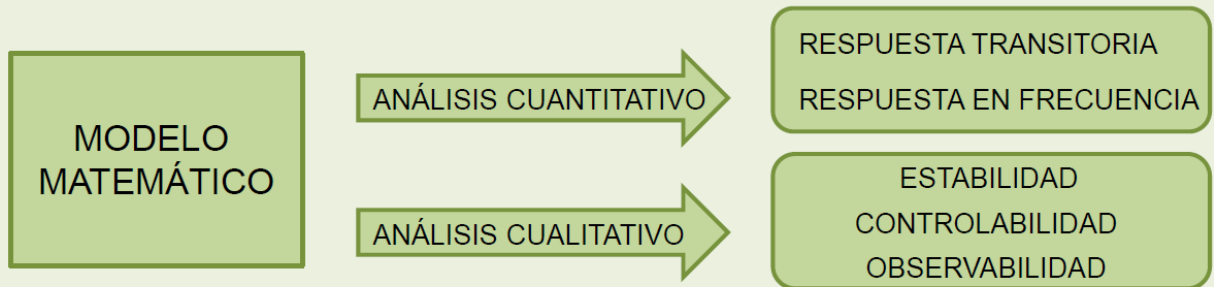
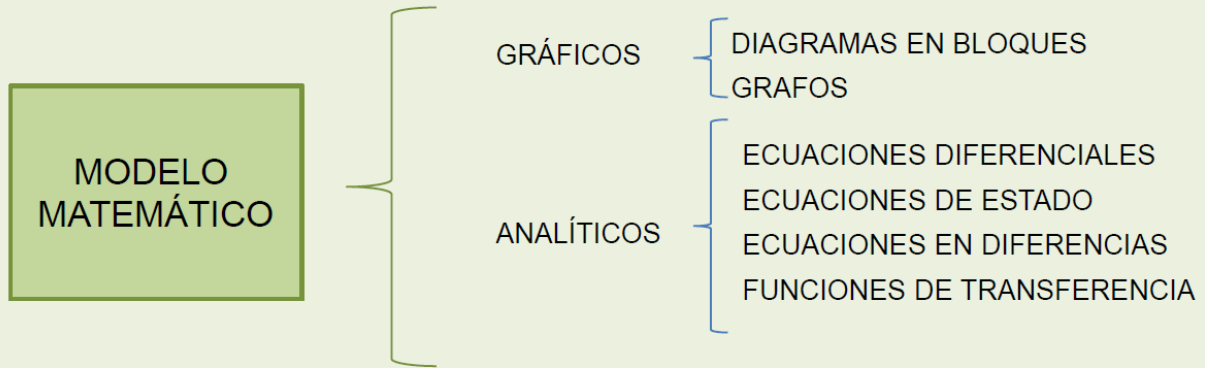
$$V(t) = I(t)R + L \frac{dI(t)}{dt} + \frac{1}{C} \int I(t) dt$$

$$\frac{I(s)}{V(s)} = \frac{sC}{s^2 LC + sCR + 1}$$

MODELO MATEMÁTICO

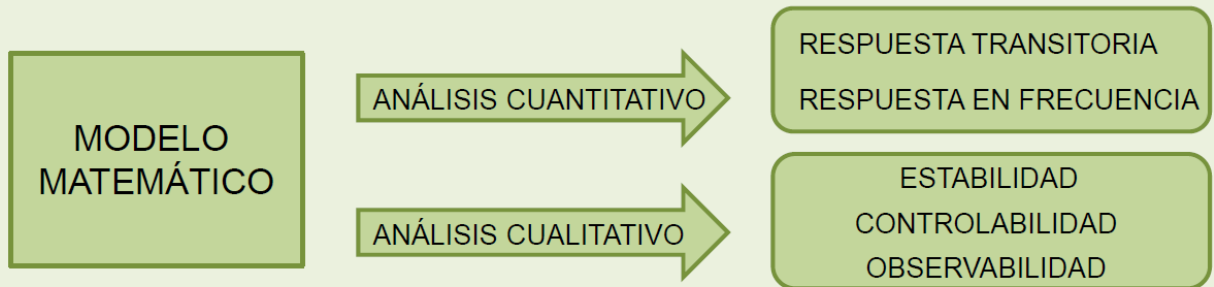
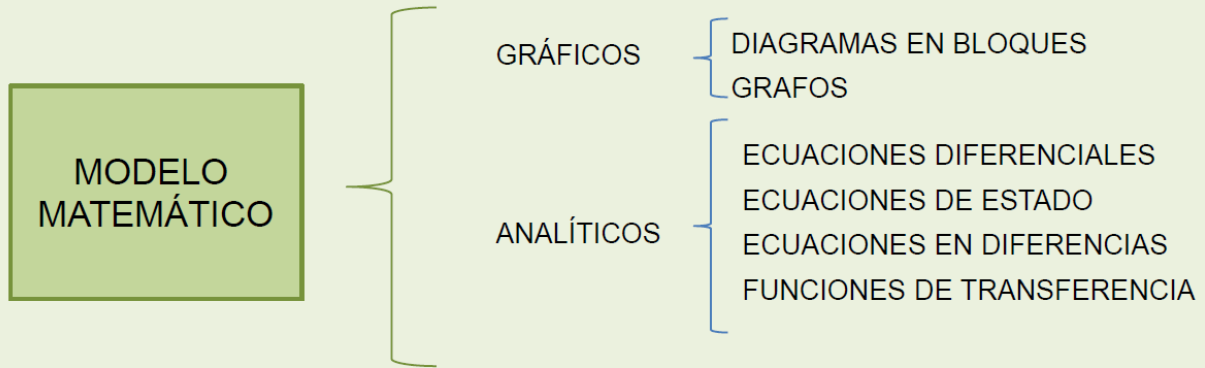
Análisis de sistemas mediante modelos

MODELOS MATEMÁTICOS



Análisis de sistemas mediante modelos

MODELOS MATEMÁTICOS

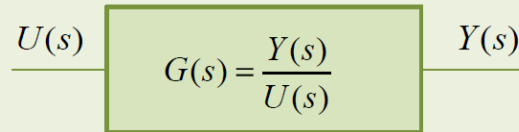


Análisis de sistemas mediante modelos

DIAGRAMA EN BLOQUES

ELEMENTOS CONSTITUTIVOS DE UN DIAGRAMA EN BLOQUES

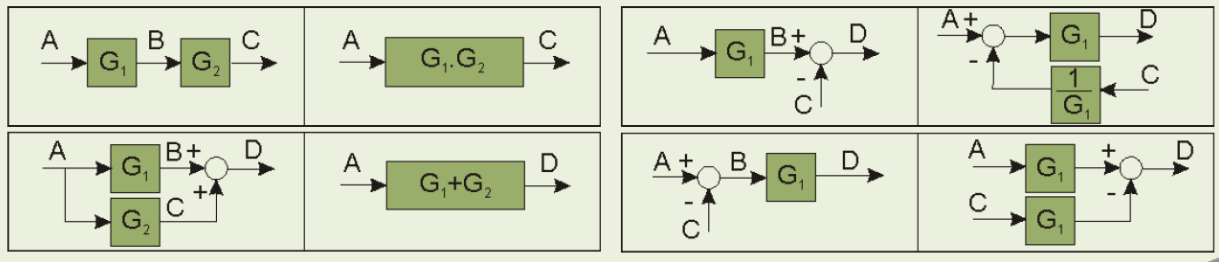
BLOQUES OPERACIONALES caracterizados por la relación causal ENTRADA/SALIDA



LÍNEAS DE CONEXIÓN donde se representan las variables de interés del sistema.

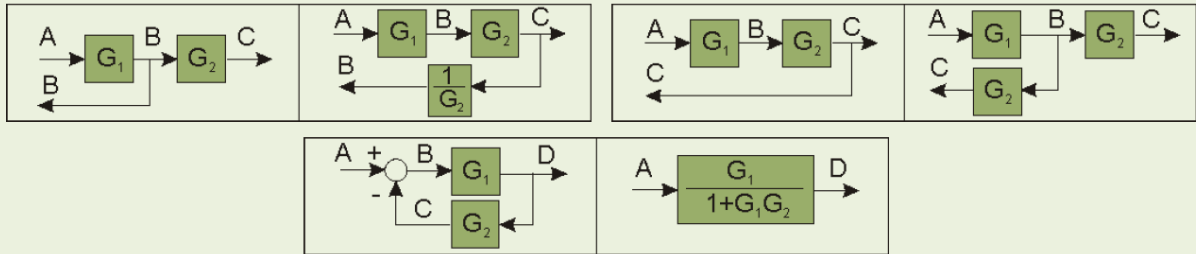
SUMADORES donde se produce la combinación lineal de las variables del sistema.

ÁLGEBRA DE BLOQUES

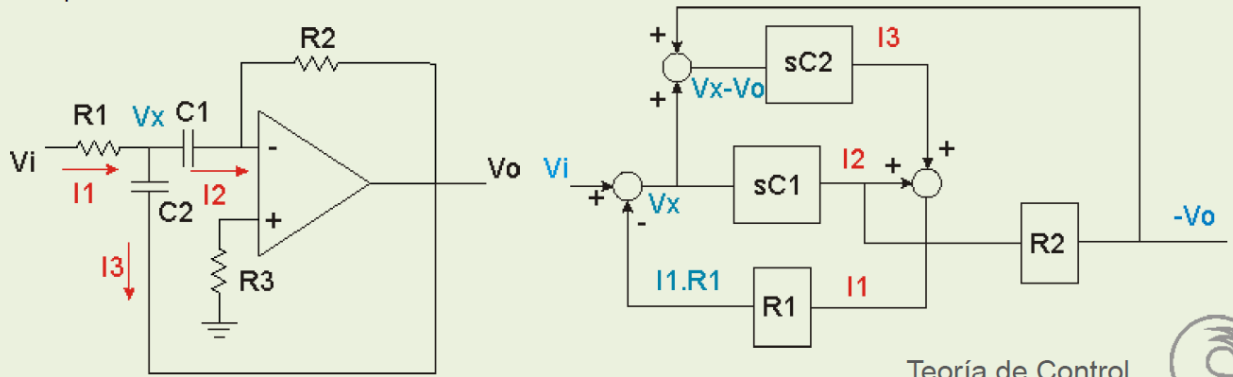


Análisis de sistemas mediante modelos

DIAGRAMA EN BLOQUES ÁLGEBRA DE BLOQUES

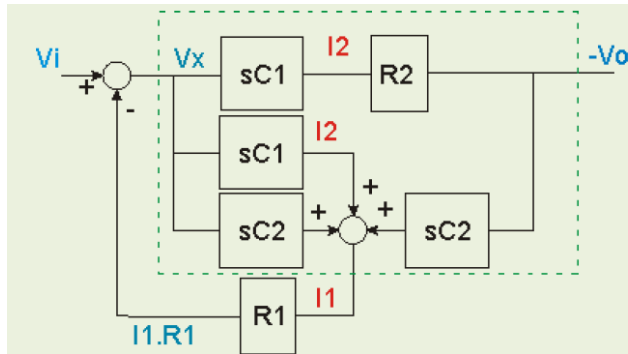


Ejemplo 1: Halle la transferencia V_o/V_i del siguiente circuito electrónico. Considere al amplificador operacional con características ideales.



Teoría de Control

Análisis de sistemas mediante modelos

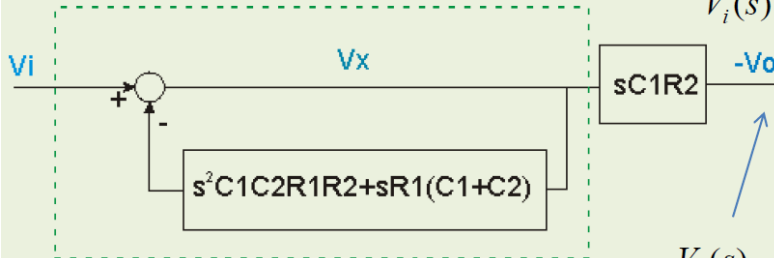


La porción recuadrada del diagrama se puede reemplazar por un único bloque que represente la transferencia $I_1(s) / V_x(s)$

$$\frac{I_1(s)}{V_x(s)} = sC_1 + sC_2 + s^2C_1C_2R_2$$

Se calcula la transferencia del lazo realimentado

$$\frac{V_x(s)}{V_i(s)} = \frac{1}{1 + s^2C_1R_1C_2R_2 + sR_1(C_1 + C_2)}$$

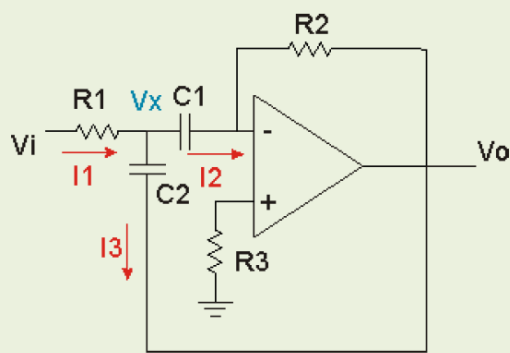


Finalmente se calcula la transferencia total

$$\frac{V_o(s)}{V_i(s)} = \frac{-sC_1R_2}{s^2C_1R_1C_2R_2 + sR_1(C_1 + C_2) + 1}$$

La transferencia corresponde a un filtro pasabanda

Análisis de sistemas mediante modelos



$$\frac{V_o(s)}{V_i(s)} = \frac{-sC_1R_2}{s^2C_1R_1C_2R_2 + sR_1C_1 + C_2 + 1}$$

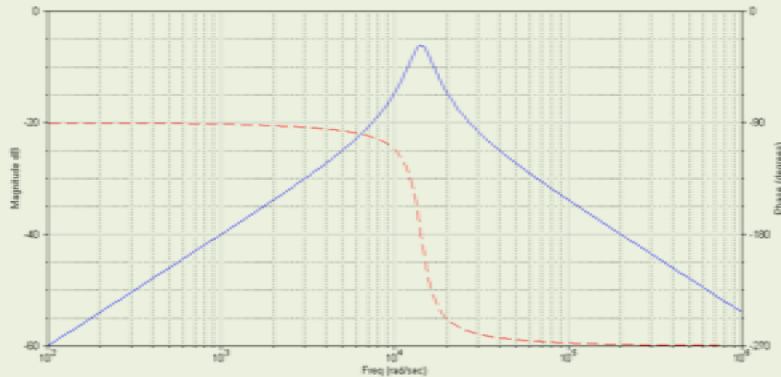
La expresión general de un filtro pasabanda es:

$$\frac{V_o(s)}{V_i(s)} = A_0 \frac{s}{\frac{s^2}{\omega_n^2} + s \frac{2\delta}{\omega_n} + 1}$$

Para este circuito:

$$A_0 = -R_2C_1 \quad \delta = R_1C_1 + C_2 \quad \omega_n = \frac{1}{\sqrt{C_1R_1C_2R_2}}$$

Si $C_1=C_2=0,01\mu\text{F}$, $R_1=1000$ y $R_2=50\text{ K}$



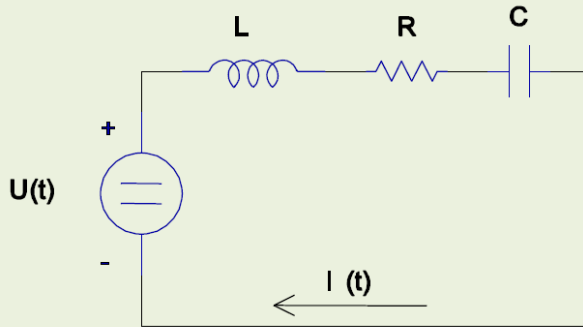
Teoría de Control



Análisis de sistemas mediante modelos

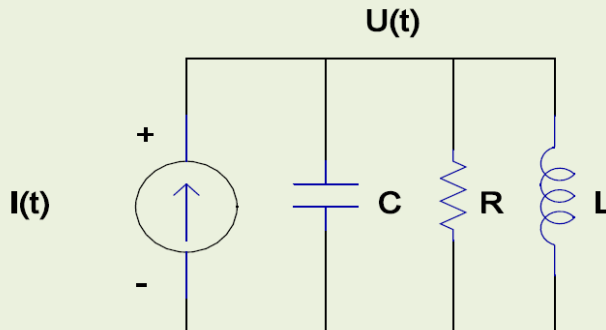
ANALOGÍAS ELÉCTRICAS DE SISTEMAS

CIRCUITOS ELÉCTRICOS BÁSICOS



Circuito serie

$$U(t) = L \frac{dI(t)}{dt} + R I(t) + \frac{1}{C} \int_0^t I(t) dt$$



Circuito paralelo

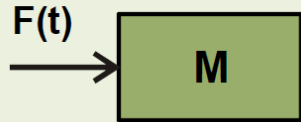
$$I(t) = C \frac{dU(t)}{dt} + \frac{U(t)}{R} + \frac{1}{L} \int_0^t U(t) dt$$

Análisis de sistemas mediante modelos

ANALOGÍAS ELÉCTRICAS DE SISTEMAS

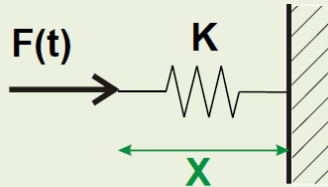
SISTEMA MECÁNICO DE TRASLACIÓN

Segunda Ley de Newton



$$F(t) = M a(t) = M \frac{dV(t)}{dt}$$

Ley de Hooke



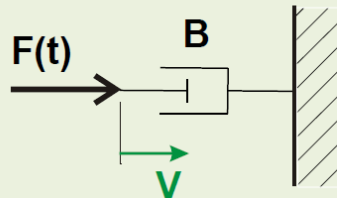
$$F(t) = K x(t) = K \int V(t) dt$$

Rozamiento

Seco

$$F(t) = \mu N = cte$$

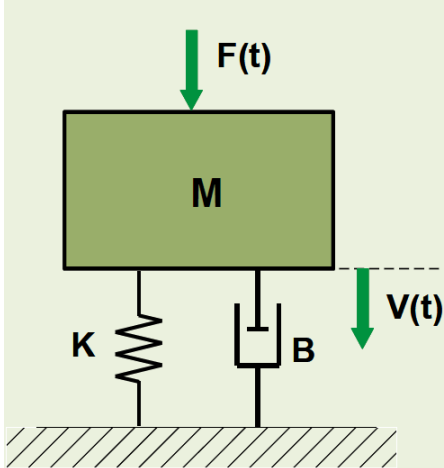
Viscoso



$$F(t) = B V(t)$$

Análisis de sistemas mediante modelos

ANALOGÍAS ELÉCTRICAS DE SISTEMAS SISTEMA MECÁNICO DE TRASLACIÓN



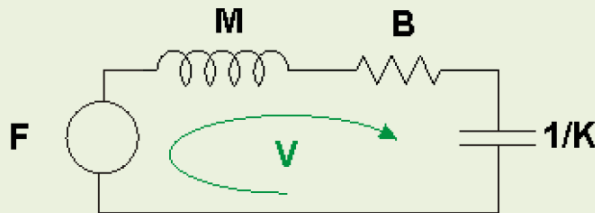
$$F(t) = M \frac{dV(t)}{dt} + B V(t) + K \int V(t) dt$$

Equivalencia de tensión

$F \rightarrow U$
 $V \rightarrow I$
 $M \rightarrow L$
 $B \rightarrow R$
 $K \rightarrow 1/C$

Equivalencia de corriente

$F \rightarrow I$
 $V \rightarrow U$
 $M \rightarrow C$
 $B \rightarrow 1/R$
 $K \rightarrow 1/L$



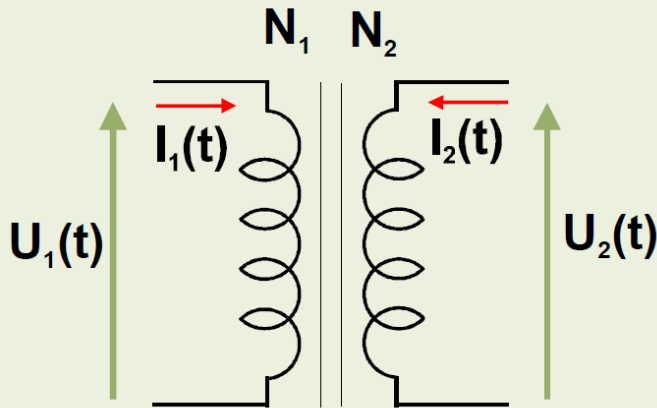
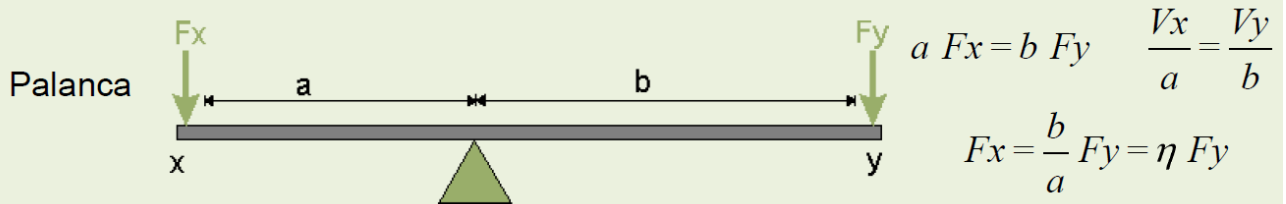
Teoría de Control



Análisis de sistemas mediante modelos

ANALOGÍAS ELÉCTRICAS DE SISTEMAS

SISTEMA MECÁNICO DE TRASLACIÓN



$$N_1 I_1(t) = N_2 I_2(t)$$

$$U_1 \approx N_1 \frac{d\Phi}{dt}$$

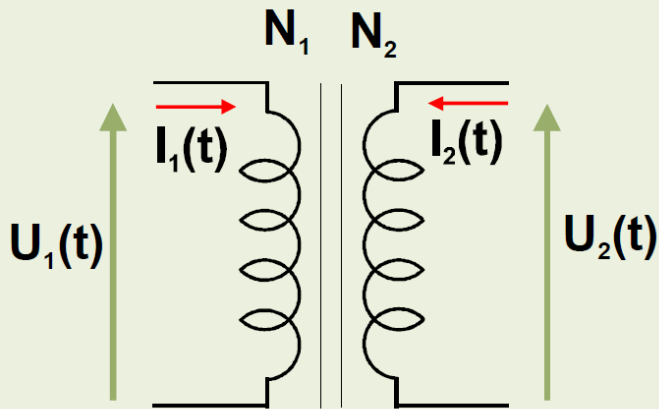
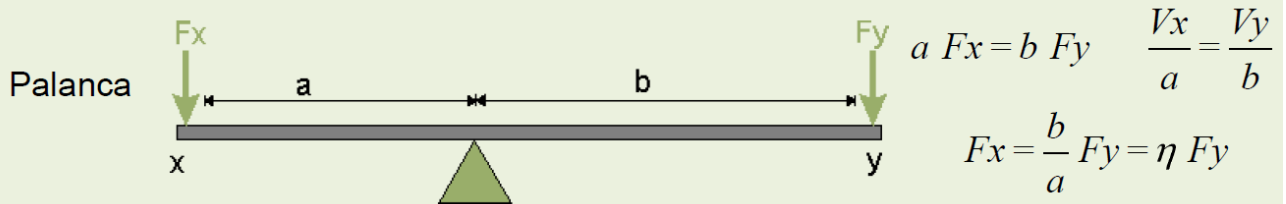
$$U_2 \approx N_2 \frac{d\Phi}{dt}$$

$$\frac{U_1}{U_2} = \frac{N_1}{N_2} = \eta$$

Análisis de sistemas mediante modelos

ANALOGÍAS ELÉCTRICAS DE SISTEMAS

SISTEMA MECÁNICO DE TRASLACIÓN



$$N_1 I_1(t) = N_2 I_2(t)$$

$$U_1 \approx N_1 \frac{d\Phi}{dt}$$

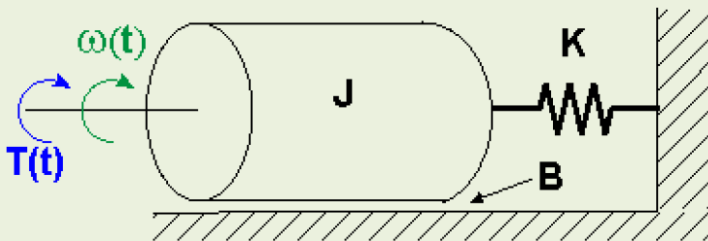
$$U_2 \approx N_2 \frac{d\Phi}{dt}$$

$$\frac{U_1}{U_2} = \frac{N_1}{N_2} = \eta$$

Análisis de sistemas mediante modelos

ANALOGÍAS ELÉCTRICAS DE SISTEMAS

SISTEMA MECÁNICO DE ROTACIÓN



$$T(t) = J \frac{d\omega(t)}{dt} + B \omega(t) + K \int \omega(t) dt$$

Equivalencia de tensión

$T \rightarrow U$
 $\omega \rightarrow I$
 $J \rightarrow L$
 $B \rightarrow R$
 $K \rightarrow 1/C$

Equivalencia de corriente

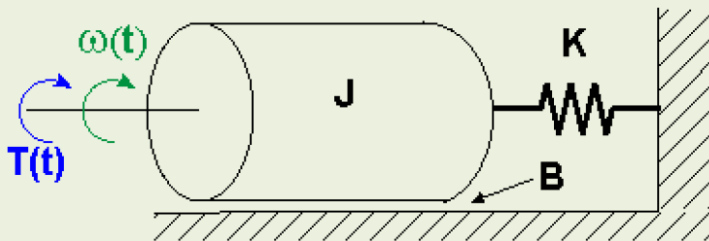
$T \rightarrow I$
 $\omega \rightarrow U$
 $J \rightarrow C$
 $B \rightarrow 1/R$
 $K \rightarrow 1/L$

Te

Análisis de sistemas mediante modelos

ANALOGÍAS ELÉCTRICAS DE SISTEMAS

SISTEMA MECÁNICO DE ROTACIÓN



$$T(t) = J \frac{d\omega(t)}{dt} + B \omega(t) + K \int \omega(t) dt$$

Equivalencia de tensión

$T \rightarrow U$
 $\omega \rightarrow I$
 $J \rightarrow L$
 $B \rightarrow R$
 $K \rightarrow 1/C$

Equivalencia de corriente

$T \rightarrow I$
 $\omega \rightarrow U$
 $J \rightarrow C$
 $B \rightarrow 1/R$
 $K \rightarrow 1/L$

Ter

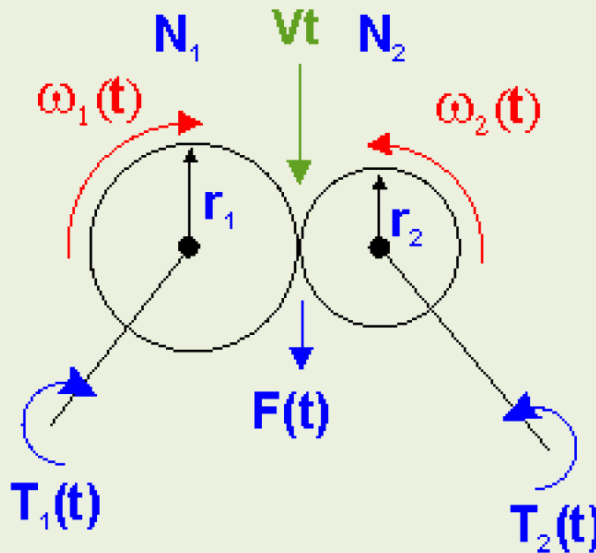
Análisis de sistemas mediante modelos

ANALOGÍAS ELÉCTRICAS DE SISTEMAS

SISTEMA MECÁNICO DE ROTACIÓN

Poleas

Engranajes



$$V_t = \omega_1 r_1 = \omega_2 r_2$$

$$\frac{\omega_1}{\omega_2} = \frac{r_2}{r_1} = \frac{1}{\eta}$$

$$F = \frac{T_1}{r_1} = \frac{T_2}{r_2}$$

$$\frac{T_1}{T_2} = \frac{r_1}{r_2} = \eta$$

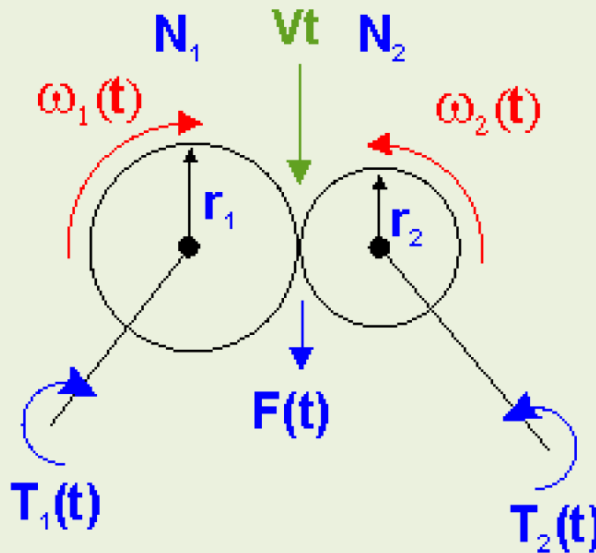
Análisis de sistemas mediante modelos

ANALOGÍAS ELÉCTRICAS DE SISTEMAS

SISTEMA MECÁNICO DE ROTACIÓN

Poleas

Engranajes



$$V_t = \omega_1 r_1 = \omega_2 r_2$$

$$\frac{\omega_1}{\omega_2} = \frac{r_2}{r_1} = \frac{1}{\eta}$$

$$F = \frac{T_1}{r_1} = \frac{T_2}{r_2}$$

$$\frac{T_1}{T_2} = \frac{r_1}{r_2} = \eta$$

Análisis de sistemas mediante modelos

ANALOGÍAS ELÉCTRICAS DE SISTEMAS

SISTEMA TÉRMICO

Conducción y Convección

$$\text{Flujo de calor } Q = K \Delta T \left[\frac{\text{Cal}}{\text{seg}} \right]$$

ΔT = Diferencia de temperatura

Para conducción

$$K = k_c \frac{A}{\Delta x}$$

$$\left\{ \begin{array}{l} k_c : \text{Conductividad} \\ A : \text{Area} \\ \Delta x : \text{Espesor} \end{array} \right\}$$

Resistencia Térmica

$$\frac{d\Delta T}{dQ} = \frac{1}{K} = \theta \left[\frac{^\circ K}{\text{Watt}} \right]$$

Capacidad Térmica

$$C = \left(\frac{\text{Variación del calor acumulado}}{\Delta T} \right)$$

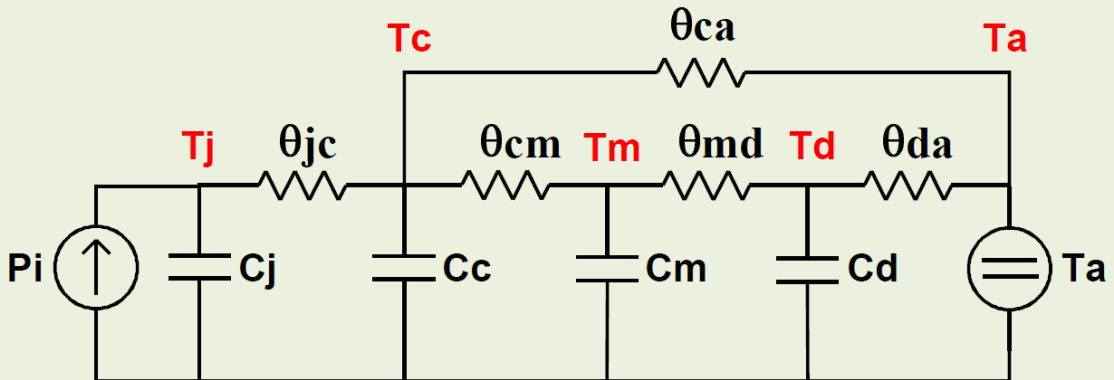
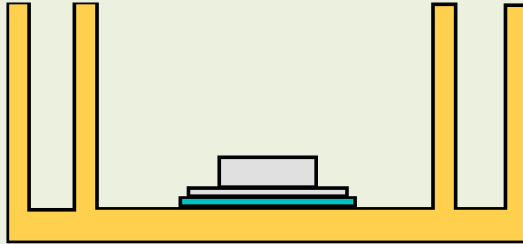
$$C = M Q_e \left\{ \begin{array}{l} M \text{ masa} \\ Q_e \text{ calor específico} \end{array} \right\}$$

Análisis de sistemas mediante modelos

ANALOGÍAS ELÉCTRICAS DE SISTEMAS

SISTEMA TÉRMICO

Amplificador de Potencia



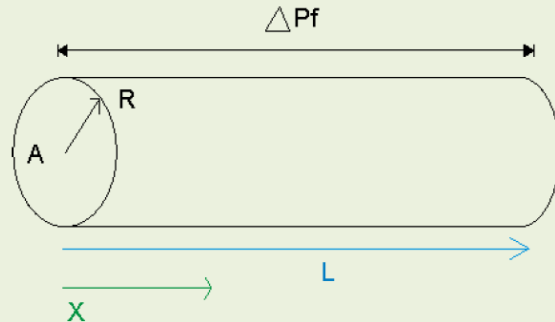
Análisis de sistemas mediante modelos

ANALOGÍAS ELÉCTRICAS DE SISTEMAS

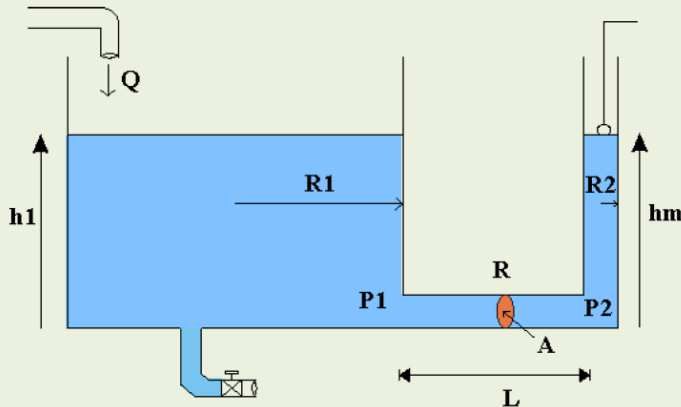
SISTEMA HIDRÁULICO

Ecuación de Poiseuille

$$\text{Caudal} = Q = \frac{\pi R^4 \Delta P_f}{8 \nu L}$$



Tanques interconectados



Ecuaciones del Sistema

Caudal $Q_i = \frac{dV}{dt} + Q_s$

Presión $P = \delta g h$

Teoría de Control

Análisis de sistemas mediante modelos

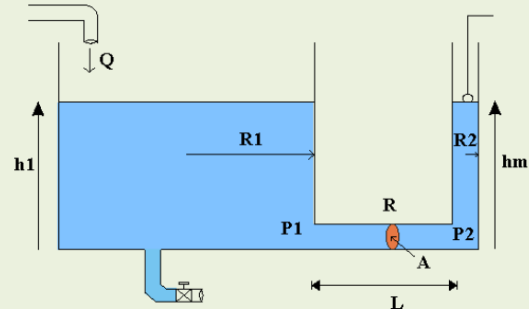
ANALOGÍAS ELÉCTRICAS DE SISTEMAS

SISTEMA HIDRÁULICO

Tanque 1 $Q = A_1 \frac{dh_1}{dt} + \frac{\pi R^4 g \delta}{8 \nu L} (h_1 - h_m)$

Tanque 2 $0 = A_2 \frac{dh_m}{dt} - \frac{\pi R^4 g \delta}{8 \nu L} (h_1 - h_m)$

$$\frac{8 \nu L}{\pi R^4 g \delta} = R \quad \text{Resistencia dinámica del fluido}$$



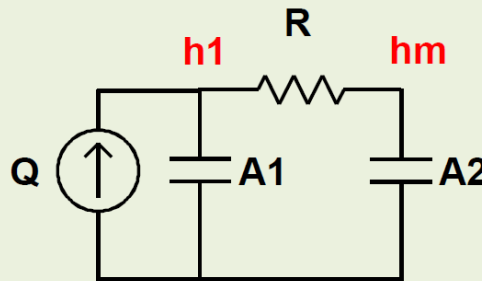
Equivalencia de tensión

$$U \rightarrow h$$

$$I \rightarrow Q$$

$$R \rightarrow R$$

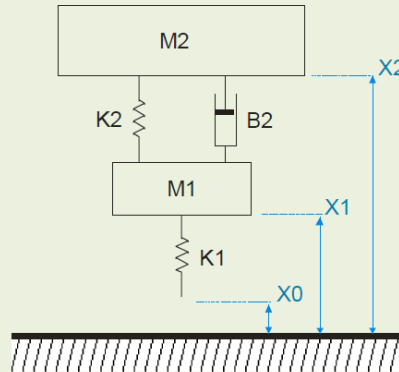
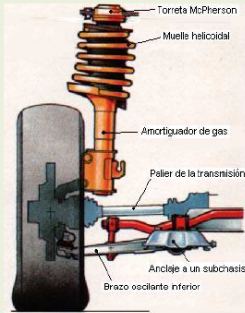
$$C \rightarrow A$$



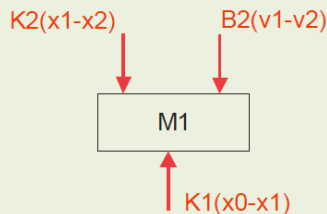
Teoría de Control

Análisis de sistemas mediante modelos

Ejemplo 2: Considere el modelo mecánico planteado para el sistema de suspensión del automóvil. Halle la transferencia entre la posición de la carrocería y el desplazamiento provocado por una imperfección en el piso. Determine el comportamiento transitorio de la carrocería cuando se pretende subir un escalón.



Planteando las ecuaciones de cuerpo aislado sobre el modelo mecánico se obtiene:



$$K_1(x_0 - x_1) - K_2(x_1 - x_2) - B_2(v_1 - v_2) = M_1 a_1 = F_{M1}$$

$$K_2(x_1 - x_2) + B_2(v_1 - v_2) = M_2 a_2 = F_{M2}$$

$$v = \frac{dx}{dt}$$

$$a = \frac{d^2x}{dt^2} = \frac{dv}{dt}$$

Teoría de Control



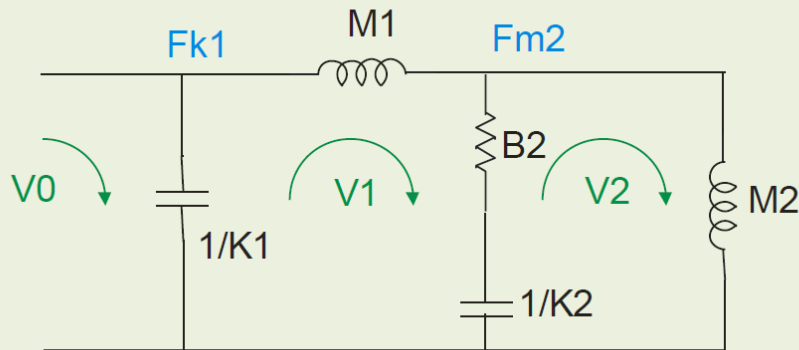
Análisis de sistemas mediante modelos

Reescribiendo las ecuaciones en términos de velocidad se llega a :

$$K_1 \int (v_0 - v_1) dt = K_2 \int (v_1 - v_2) dt + B_2 (v_1 - v_2) + M_1 \frac{dv_1}{dt} = F_{k1}$$

$$K_2 \int (v_1 - v_2) dt + B_2 (v_1 - v_2) = M_2 \frac{dv_2}{dt} = F_{M2}$$

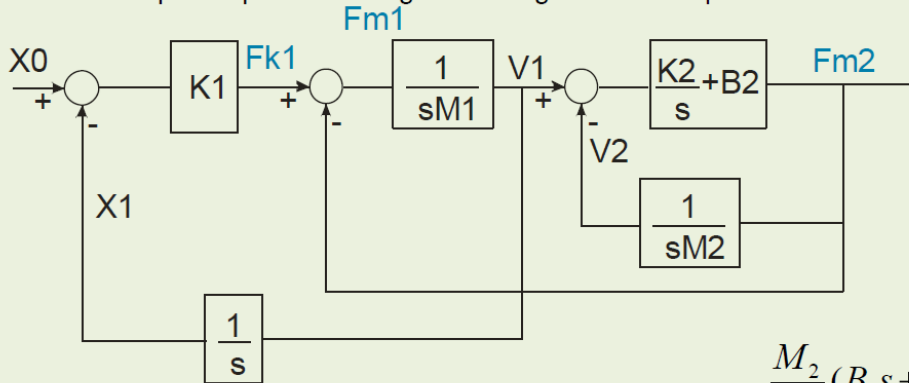
Si se realiza una equivalencia entre las fuerzas en las ecuaciones mecánicas y tensiones en un circuito eléctrico, se podría plantear que las velocidades resultan equivalentes a las corrientes del circuito eléctrico, las masas equivalentes a inductancias, los rozamientos equivalentes a resistencias y los resortes equivalentes a la inversa de la capacidad. En tales condiciones las anteriores ecuaciones serían equivalentes a las del siguiente circuito eléctrico:



Las ecuaciones planteadas corresponden a las ecuaciones de malla del circuito eléctrico

Análisis de sistemas mediante modelos

Del circuito eléctrico se puede plantear el siguiente diagrama en bloques.:



$$\frac{F_{M2}}{V_1} = \frac{sM_2(B_2s + K_2)}{s^2M_2 + B_2s + K_2}$$

$$\frac{F_{M2}}{F_{M1}} = \frac{\frac{M_2}{M_1}(B_2s + K_2)}{s^2M_2 + B_2s + K_2}$$

$$\frac{F_{M2}}{F_{K1}} = \frac{M_2(B_2s + K_2)}{s^2M_2M_1 + B_2s(M_1 + M_2) + K_2(M_1 + M_2)}$$

$$\frac{F_{M2}}{X_0} = \frac{K_1M_2s^2(B_2s + K_2)}{s^4M_2M_1 + B_2s^3(M_1 + M_2) + s^2[K_1M_2 + K_2(M_1 + M_2)] + B_2K_1s + K_1K_2}$$

Análisis de sistemas mediante modelos

Finalmente la posición de la carrocería para un escalón de desplazamiento:

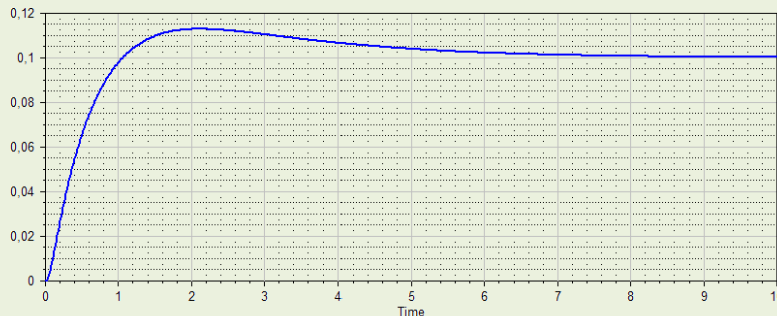
$$\frac{X_2}{X_0} = \frac{K_1(B_2s + K_2)}{s^4 M_2 M_1 + B_2 s^3 M_1 + M_2 + s^2 [K_1 M_2 + K_2 M_1 + M_2] + B_2 K_1 s + K_1 K_2}$$

Para $M_1=20$ Kg , $M_2=1300$ Kg, $K_1=50000$ N/m, $K_2=1000$ N/m, $B_2=2500$ Ns/m

$$\frac{X_2}{X_0} = \frac{1.923(2500s+1000)}{s^4 + 126.9s^3 + 2551s^2 + 4808s + 1923} = \frac{4808(s+0.4)}{(s+0.5641)(s+1.486)(s+22.38)(s+102.5)}$$

Suponiendo un escalón de 10 cm la respuesta tiene la siguiente expresión

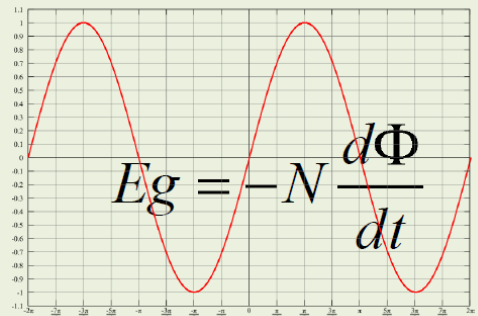
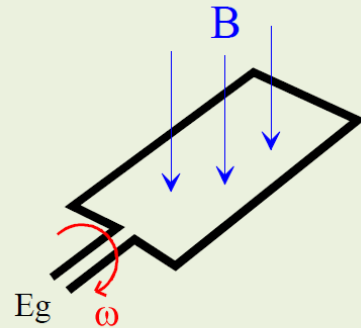
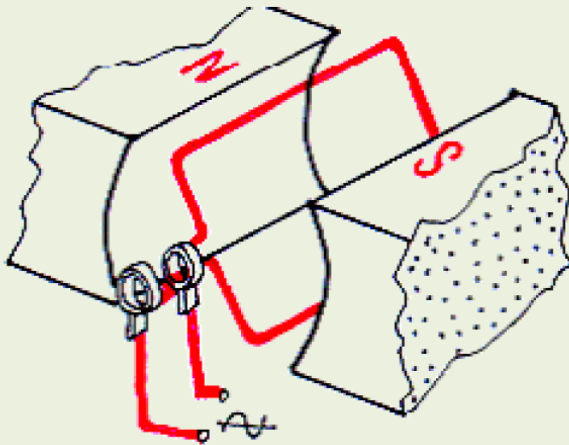
$$X_2(t) = 0.1 + 0.06822 e^{-0.5641t} - 0.1806 e^{-1.486t} + 0.01293 e^{-22.38t} - 0.0005807 e^{-102.5t}$$



Análisis de sistemas mediante modelos

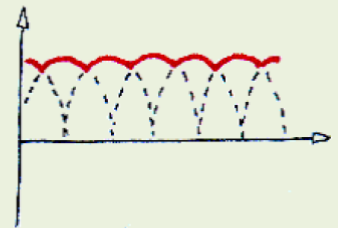
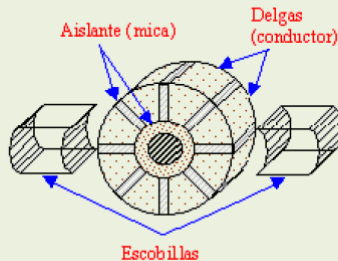
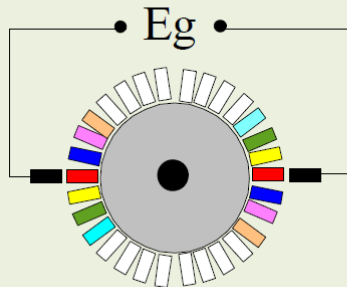
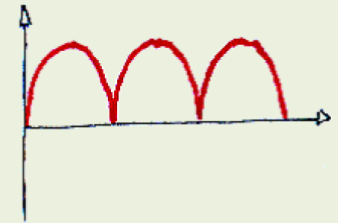
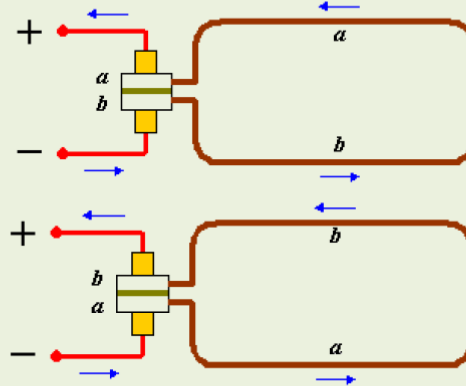
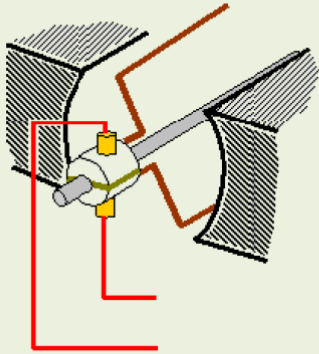
GENERADOR Y MOTOR DE CORRIENTE CONTINUA

Ley de Faraday



Análisis de sistemas mediante modelos

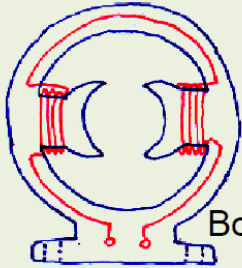
GENERADOR Y MOTOR DE CORRIENTE CONTINUA



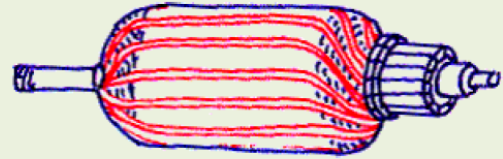
$$E_g = K_g \omega \Phi$$

Análisis de sistemas mediante modelos

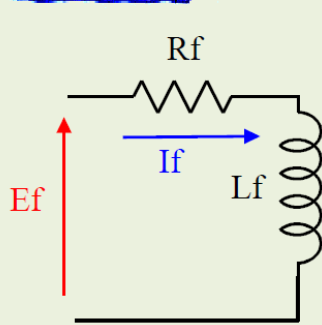
GENERADOR Y MOTOR DE CORRIENTE CONTINUA



Bobinado de Campo

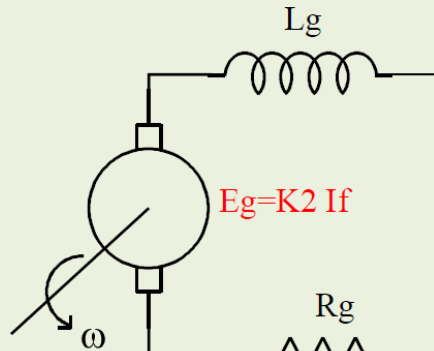


Bobinado de Armadura



$$E_f = R_f I_f + L_f \frac{dI_f}{dt}$$

$$\Phi = K_f I_f$$



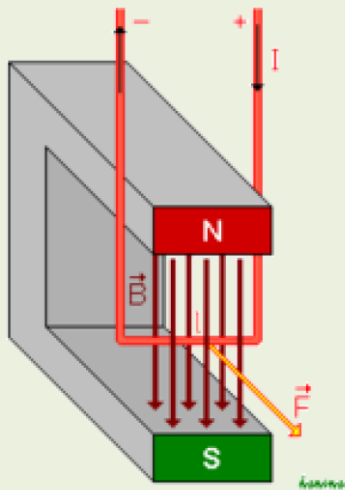
$$E_g = K_g \omega \Phi$$

Si ω es constante $E_g = K_2 I_f$

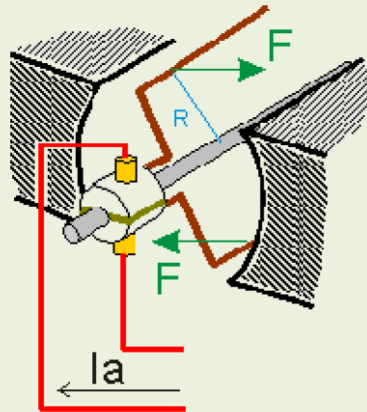
Análisis de sistemas mediante modelos

GENERADOR Y MOTOR DE CORRIENTE CONTINUA

Fuerza de Lorentz



$$F = \int I \cdot dl \times B$$



$$T_m = K_1 I_a \Phi$$

$$E_g = K_g \omega \Phi$$

Si Φ es constante

$$T_m = K_T I_a$$

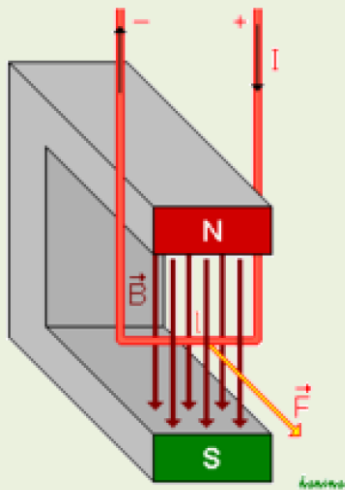
$$E_g = K_w \omega$$

Teoría de Control

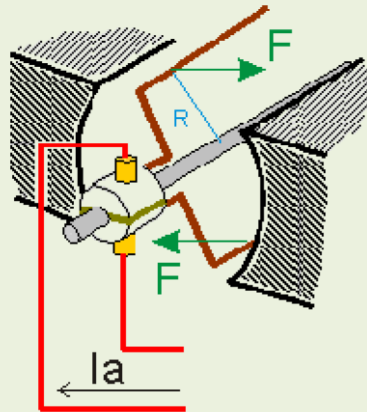
Análisis de sistemas mediante modelos

GENERADOR Y MOTOR DE CORRIENTE CONTINUA

Fuerza de Lorentz



$$F = \int I \cdot dl \times B$$



$$T_m = K_1 I_a \Phi$$

$$E_g = K_g \omega \Phi$$

Si Φ es constante

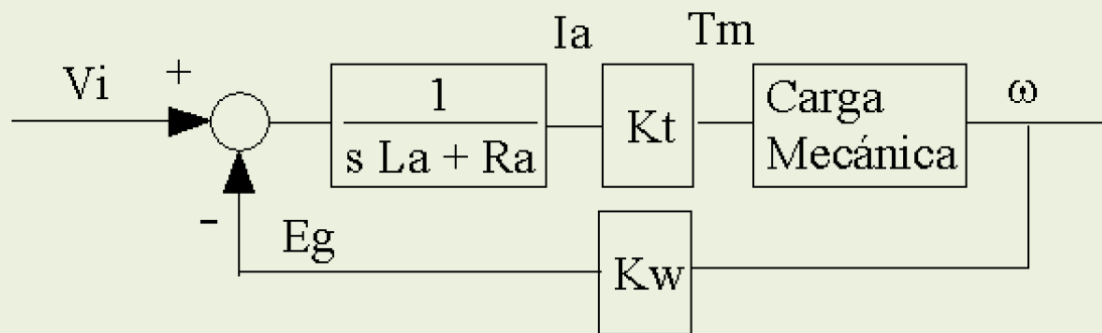
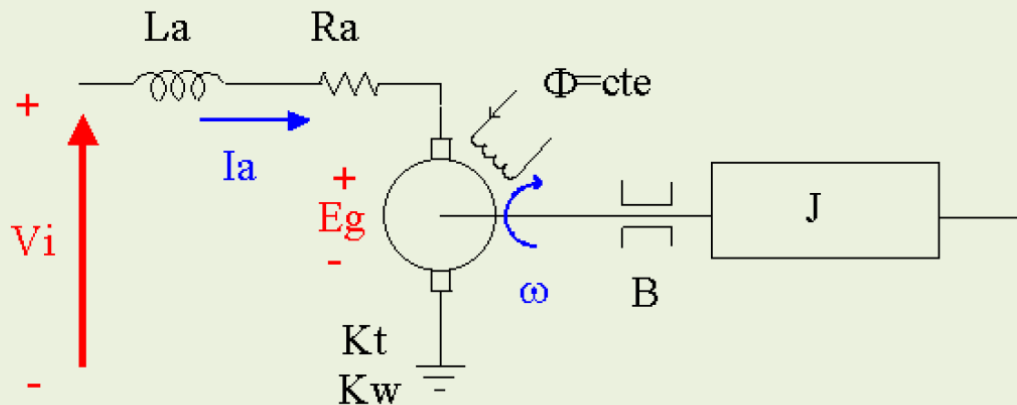
$$T_m = K_T I_a$$

$$E_g = K_w \omega$$

Teoría de Control

Análisis de sistemas mediante modelos

GENERADOR Y MOTOR DE CORRIENTE CONTINUA



Linealización de sistemas

Objetivo: obtener modelos lineales aproximados a partir de los modelos no lineales.

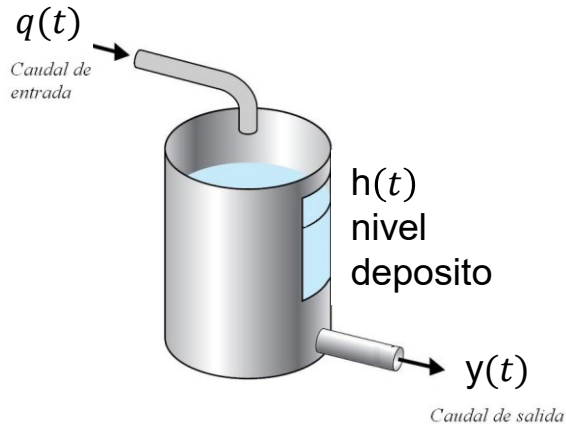
Punto de funcionamiento: Es el punto de equilibrio en torno al cual se linealiza

Propiedades:

- Representa bien al sistema en cierta zona en torno al punto de equilibrio
- Fuera de esa zona el modelo tiene un error grande.

Linealización de sistemas

Ejemplo:



$$A \frac{dh(t)}{dt} = q(t) - y(t) = q(t) - k\sqrt{h(t)}$$

¡Ecuación diferencial no lineal!

Punto de funcionamiento:

$$0 = q_0 - k\sqrt{h_0}$$

Definimos variables incrementales en torno al punto de funcionamiento

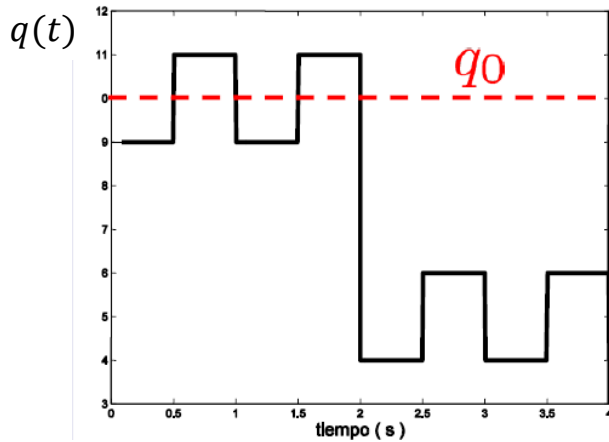
$$q(t) = q_0 + \beta(t) \quad \text{y} \quad h(t) = h_0 + \alpha(t)$$

$$\begin{aligned} \frac{dh(t)}{dt} &= \frac{d\alpha(t)}{dt} \\ q(t) - q_0 &= \beta(t) \\ \sqrt{h(t)} - \sqrt{h_0} &\approx \frac{1}{2\sqrt{h_0}} \alpha(t) \end{aligned}$$

$$A \frac{dh(t)}{dt} = (q(t) - q_0) - k(\sqrt{h(t)} - \sqrt{h_0})$$

$$A \frac{dh(t)}{dt} = \beta(t) - \frac{k}{2\sqrt{h_0}} \alpha(t)$$

Linealización de sistemas



Funciona bien en torno al punto de funcionamiento.

Para variaciones grandes el modelo acumula error

Se espera que las variables evolucionen en torno al punto de equilibrio

